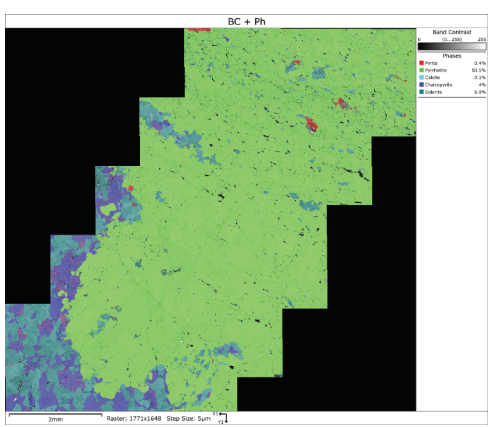
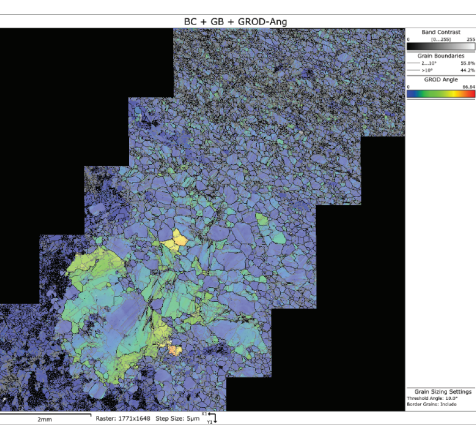
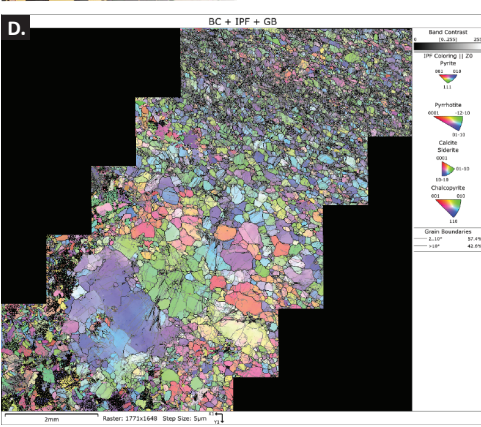
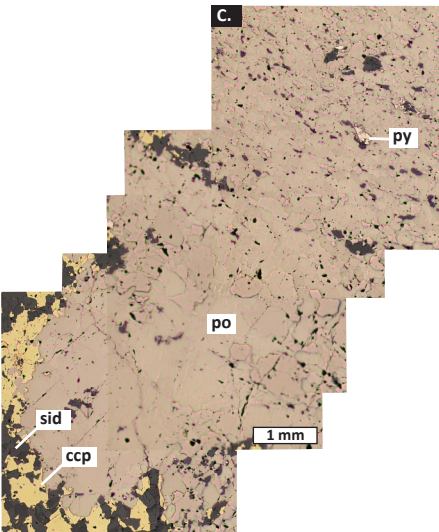
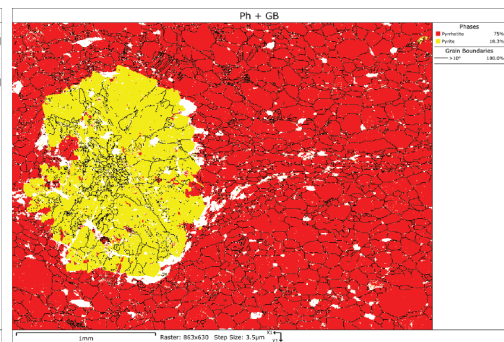
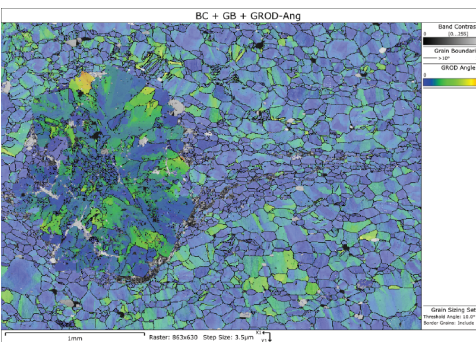
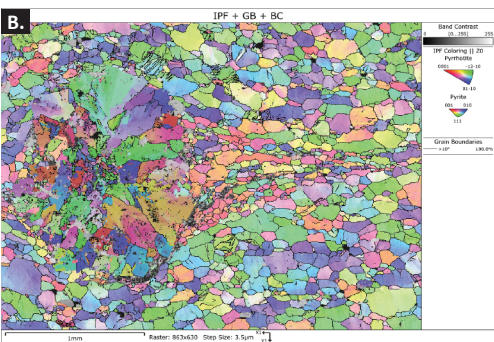
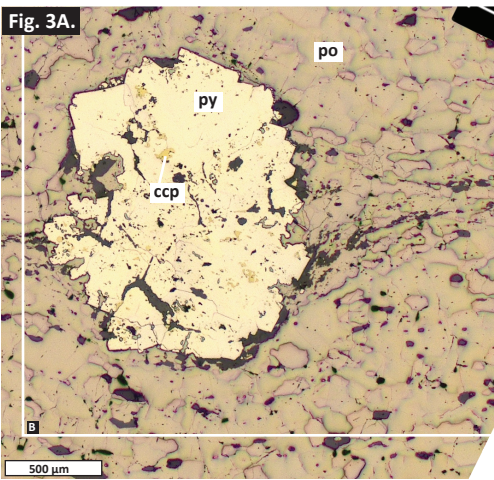


Fig. 3A.



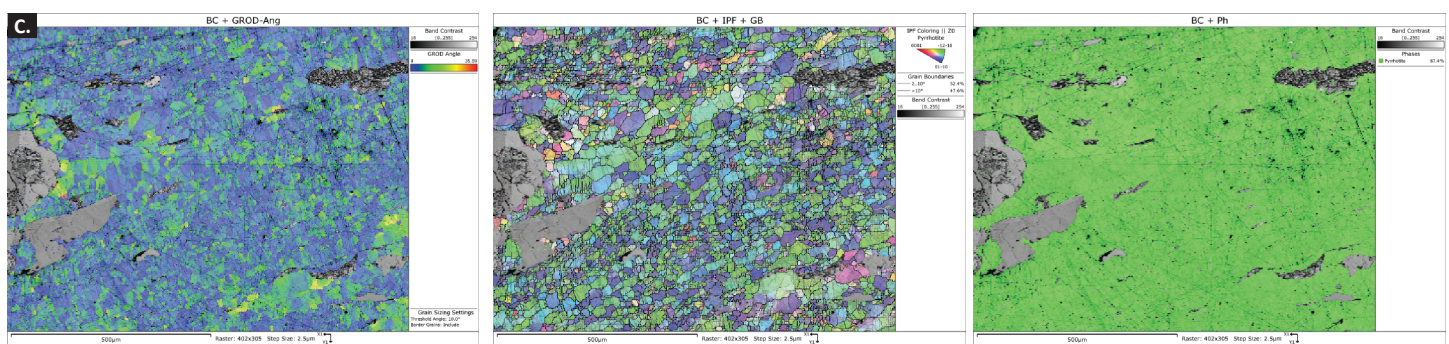
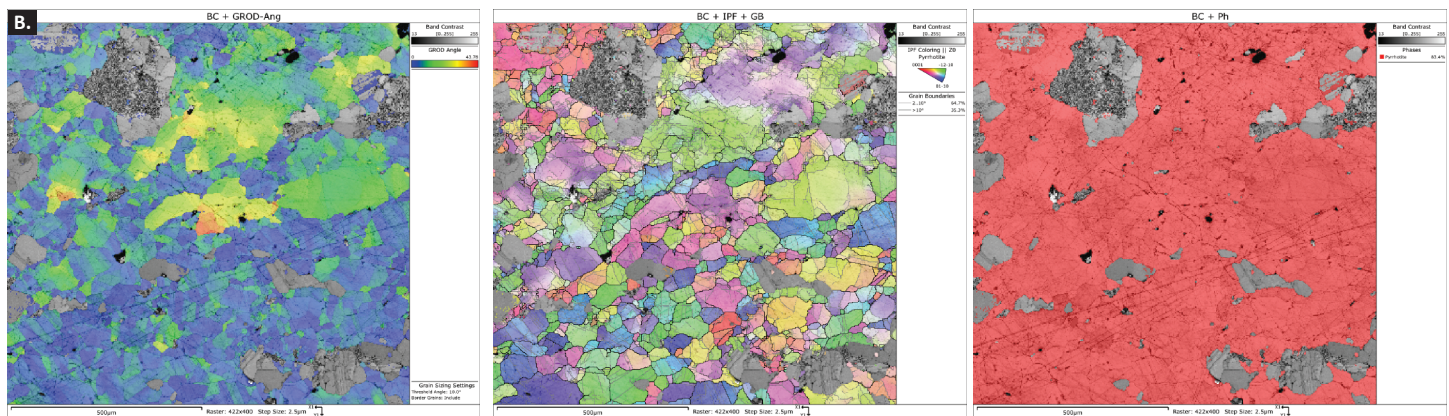
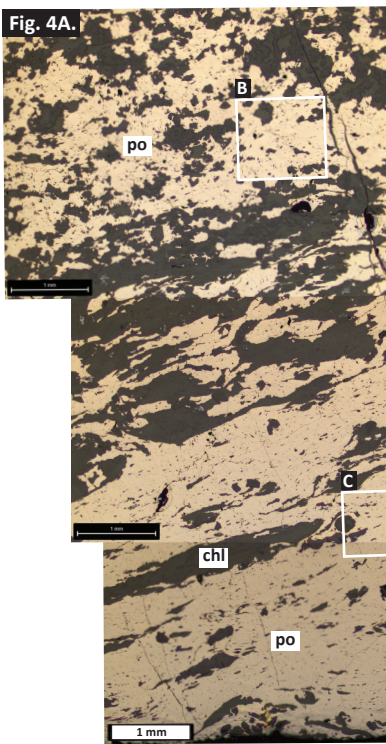
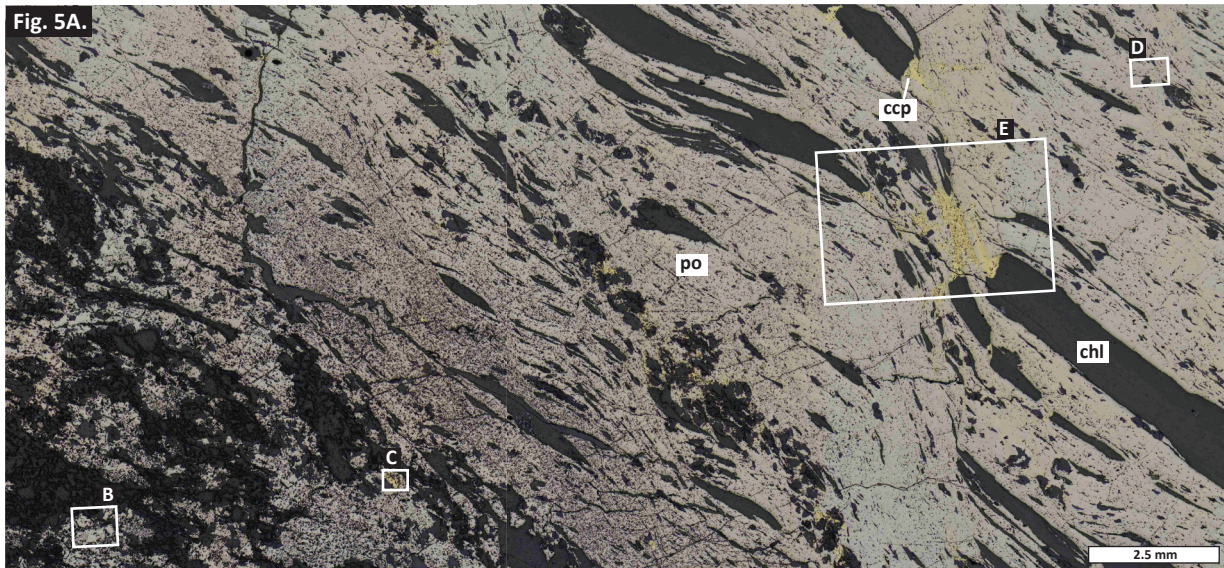
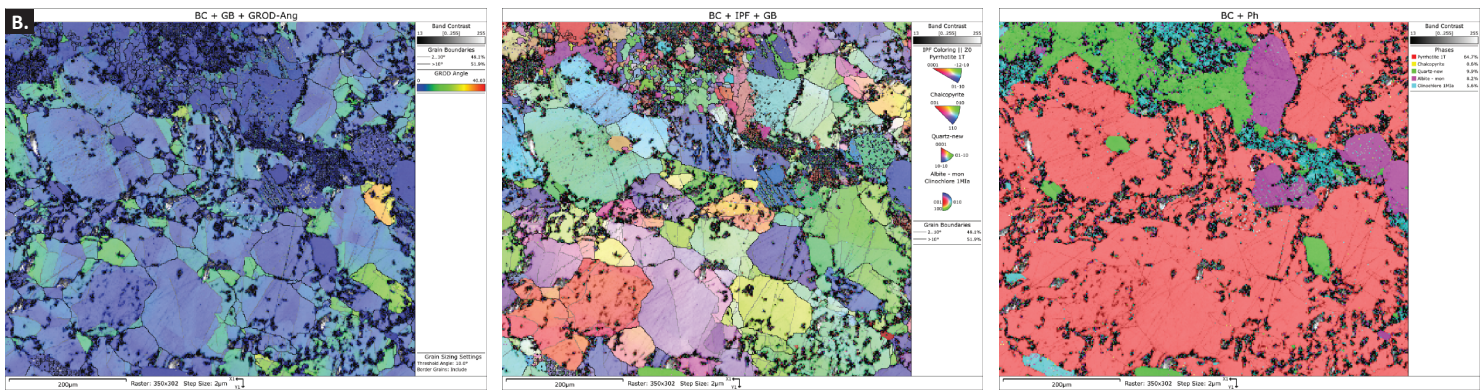


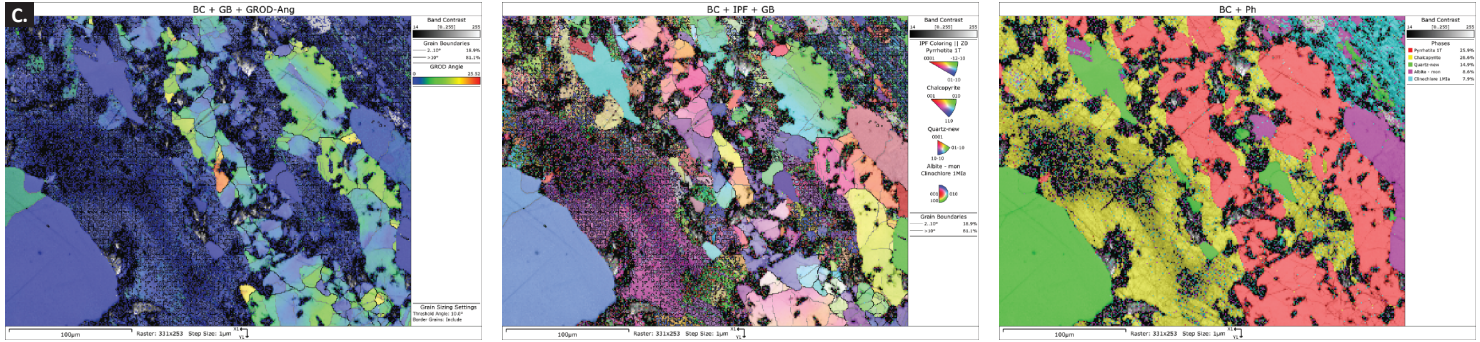
Fig. 5A.

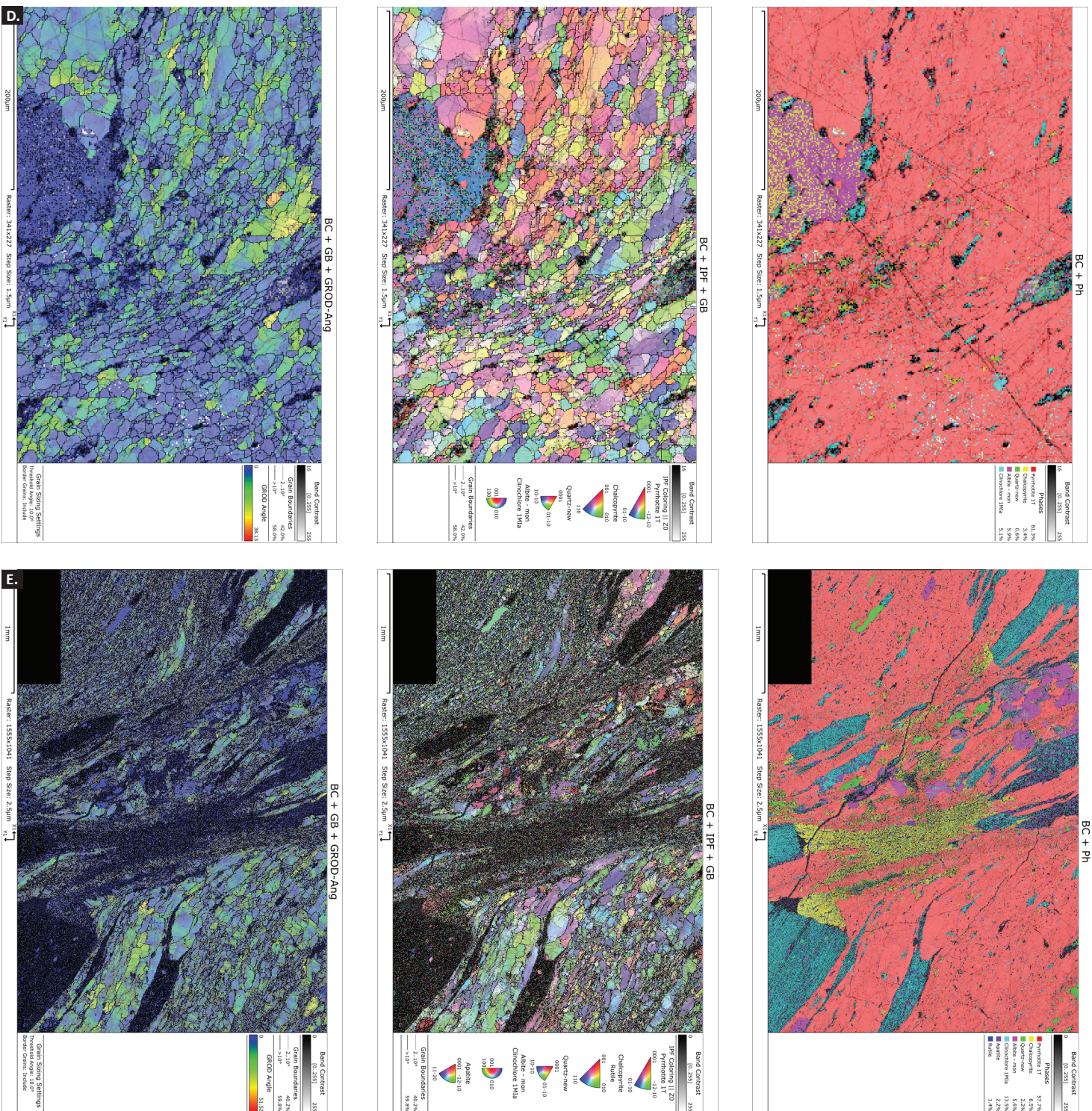


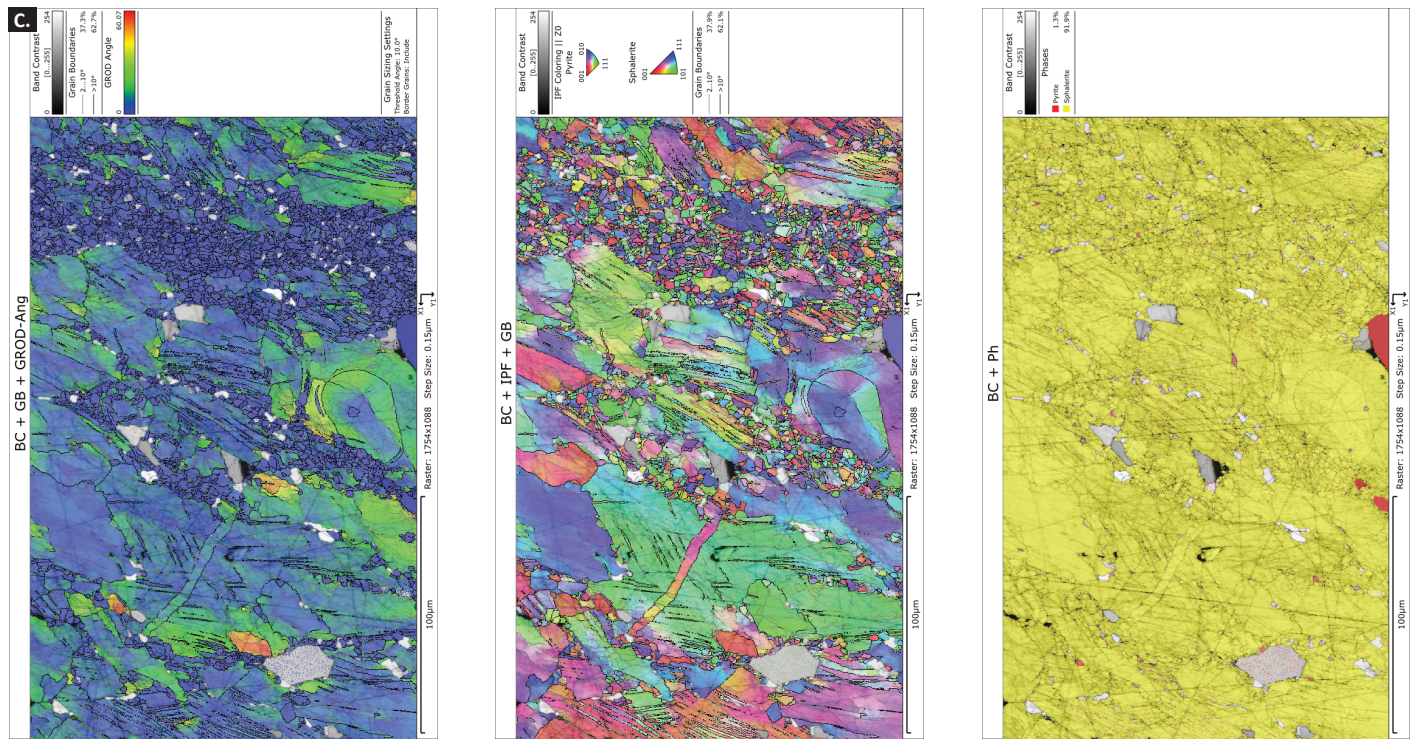
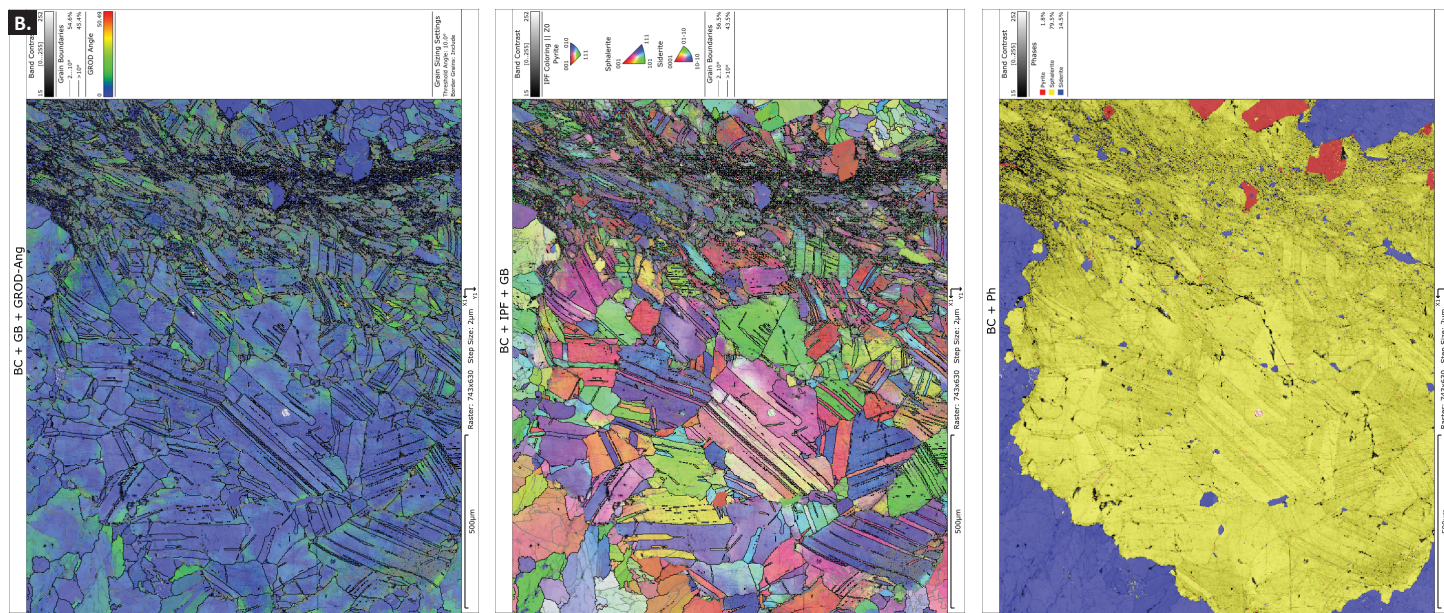
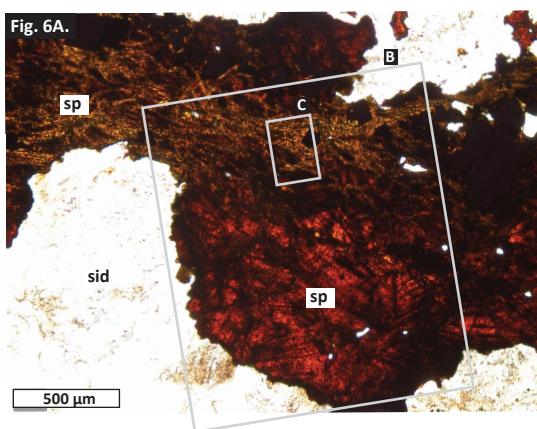
B.

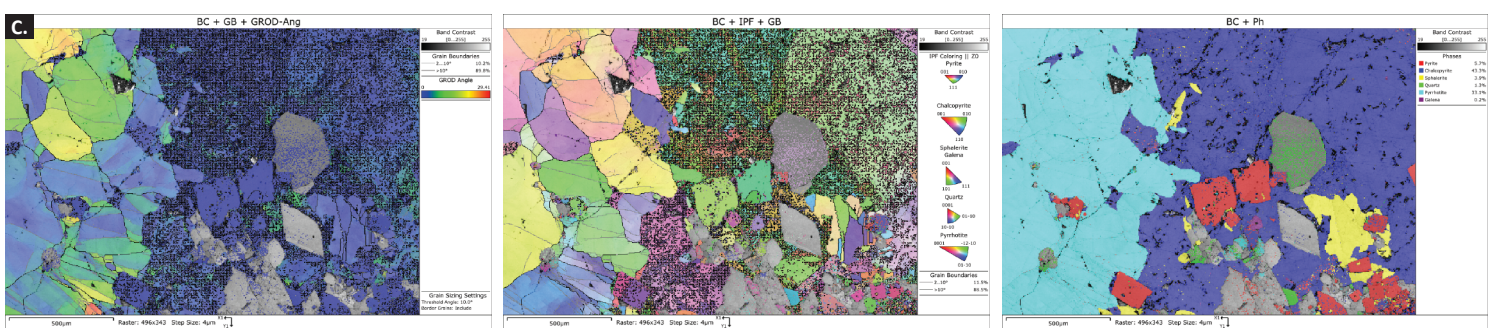
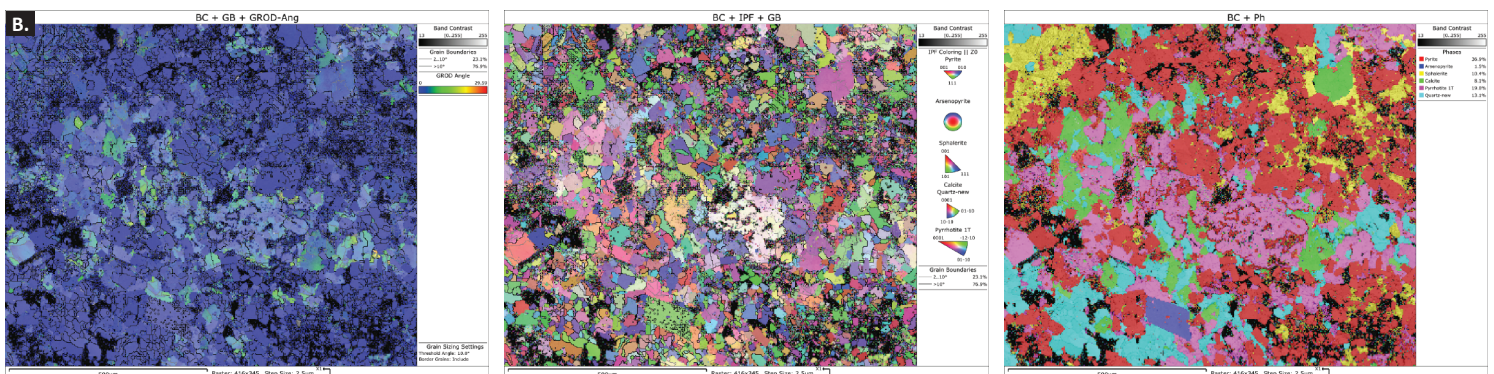
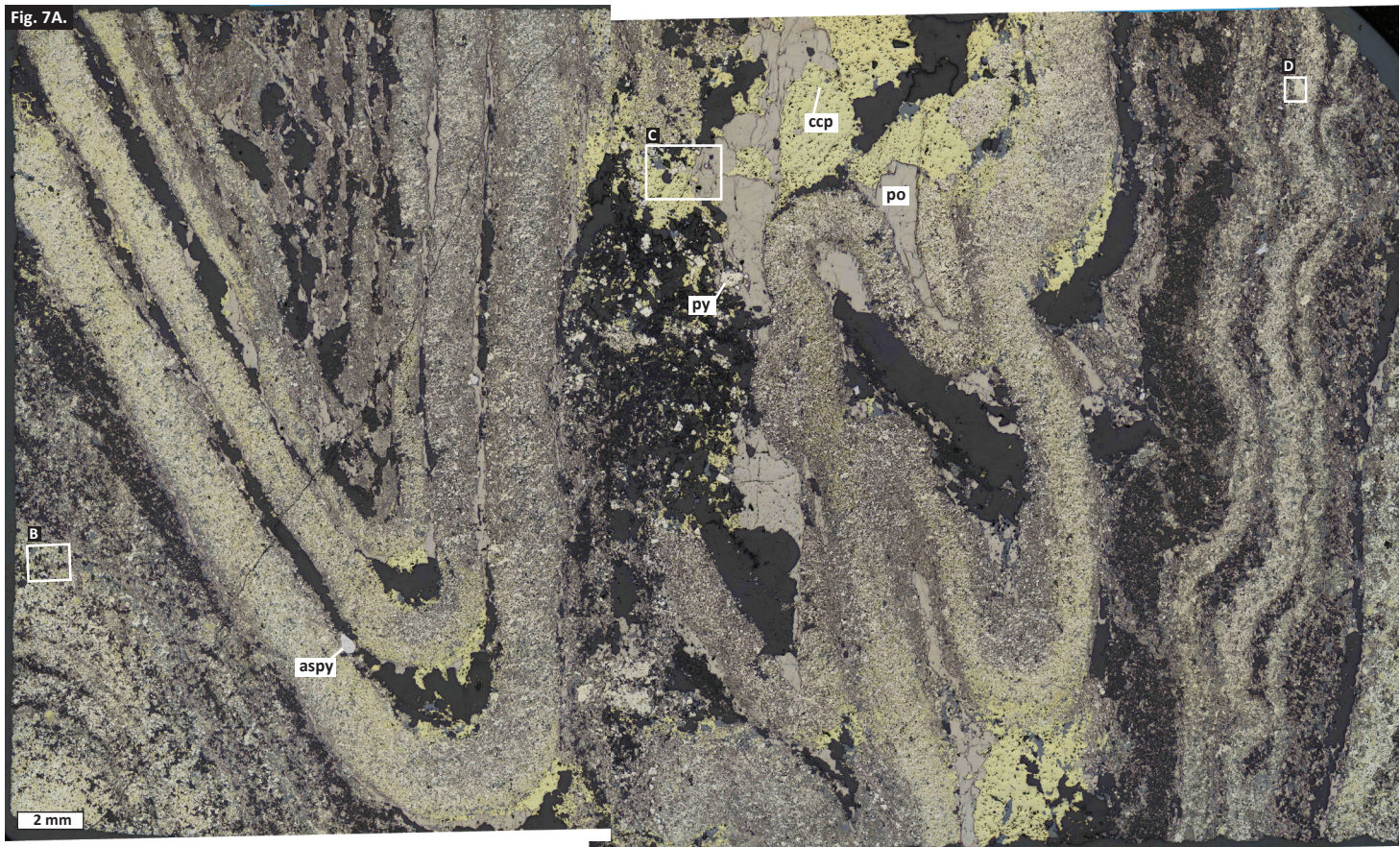


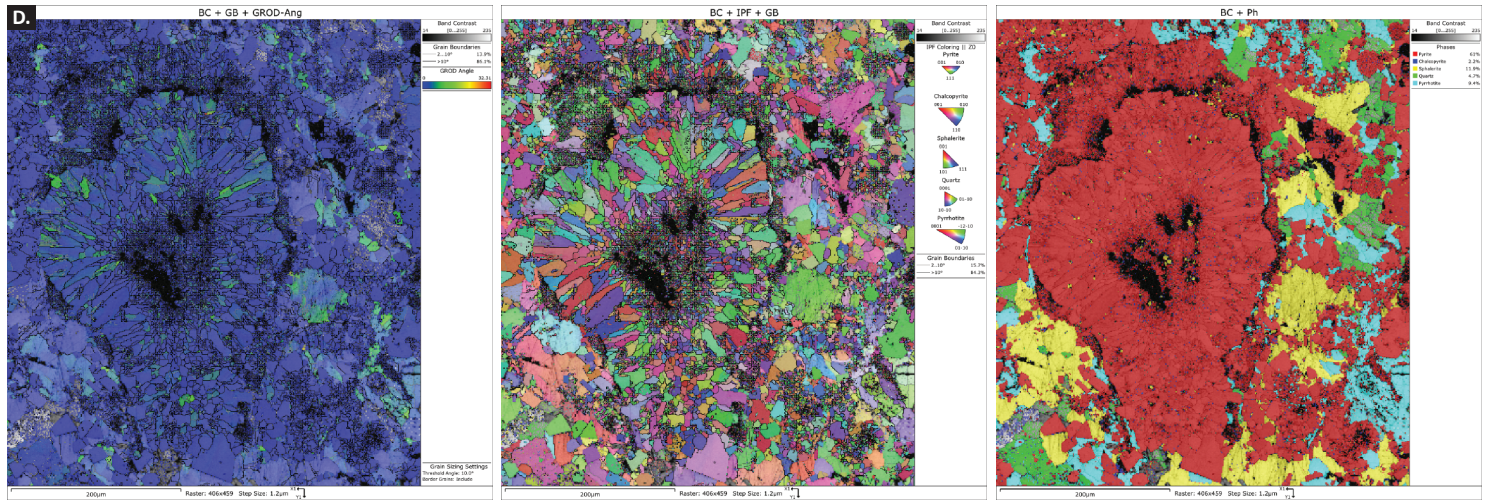
C.

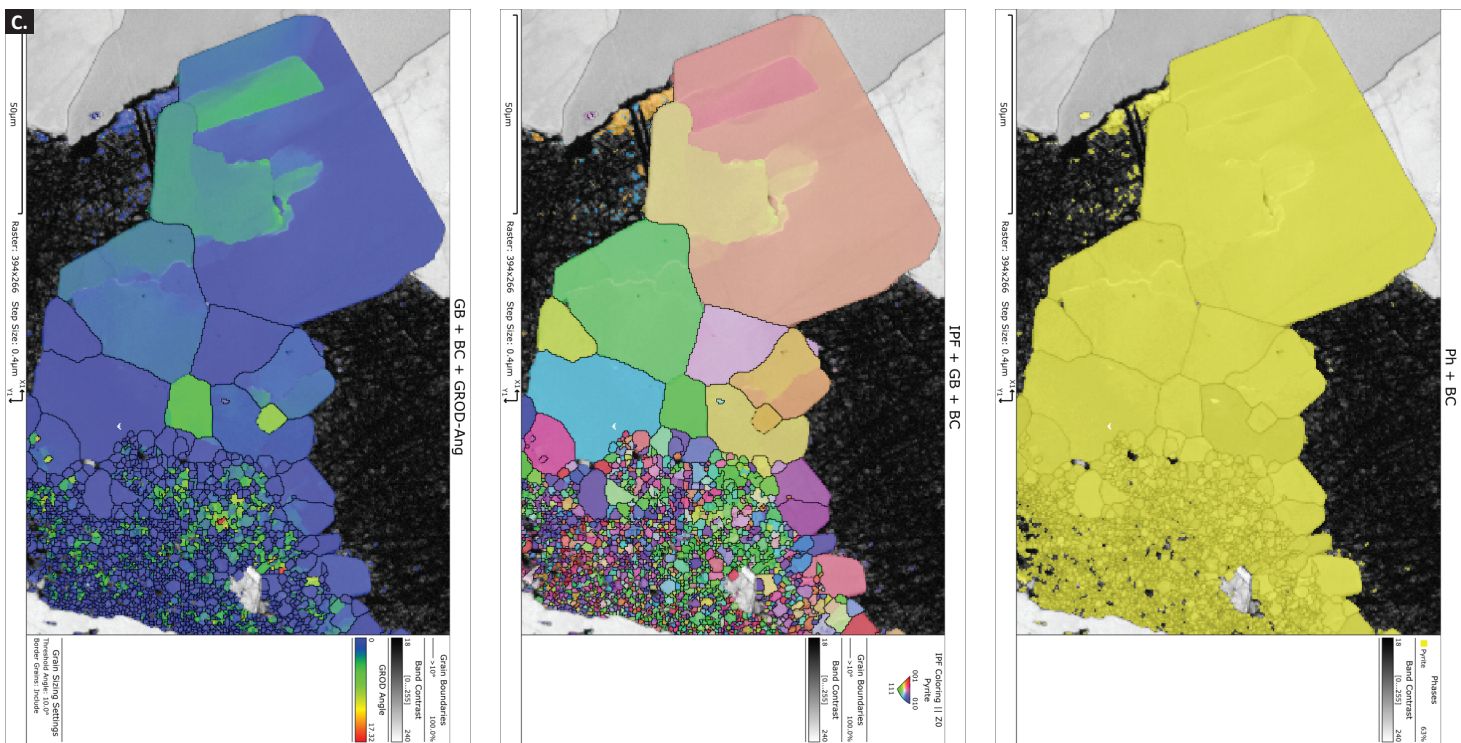
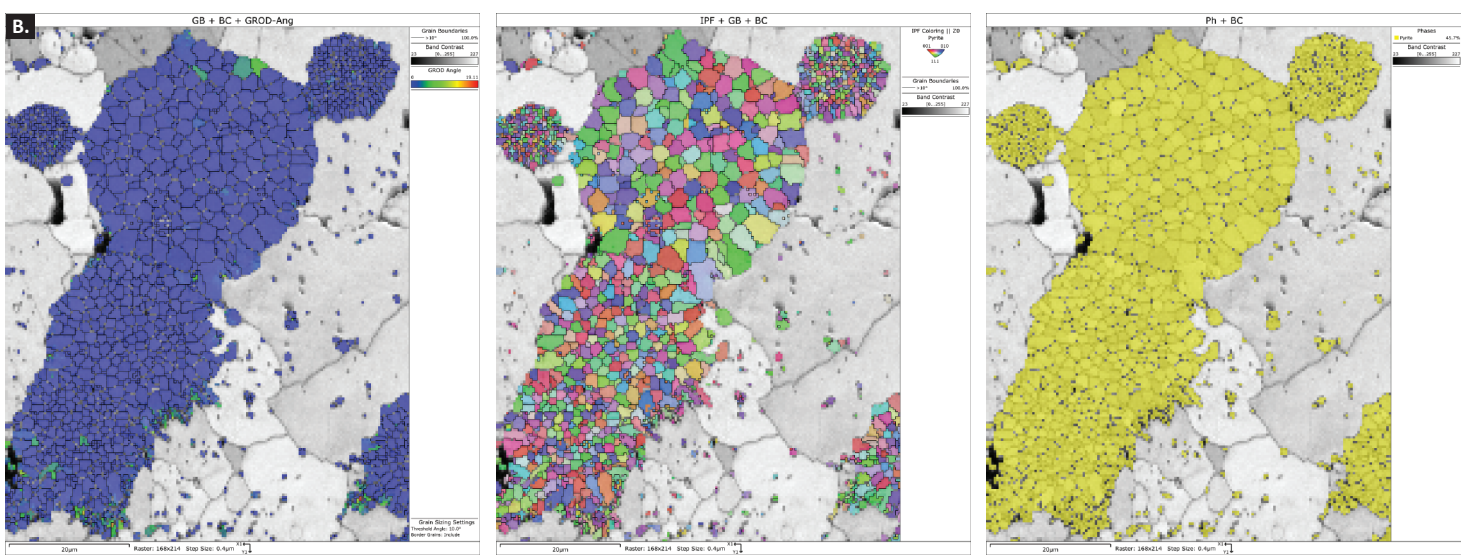
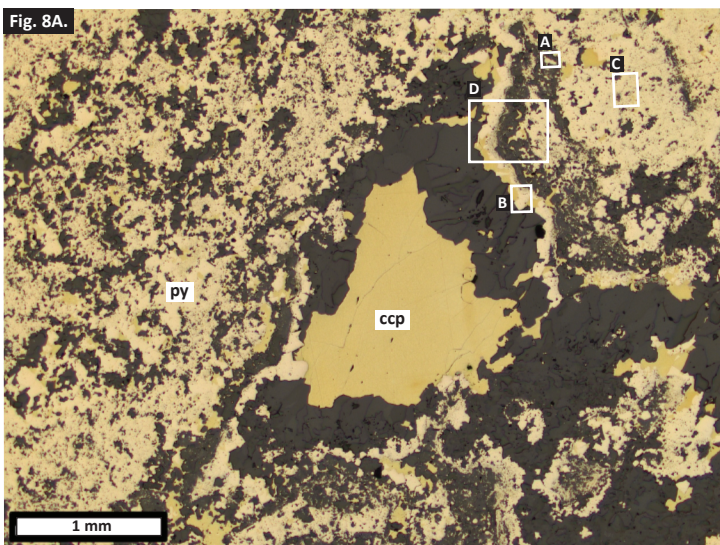












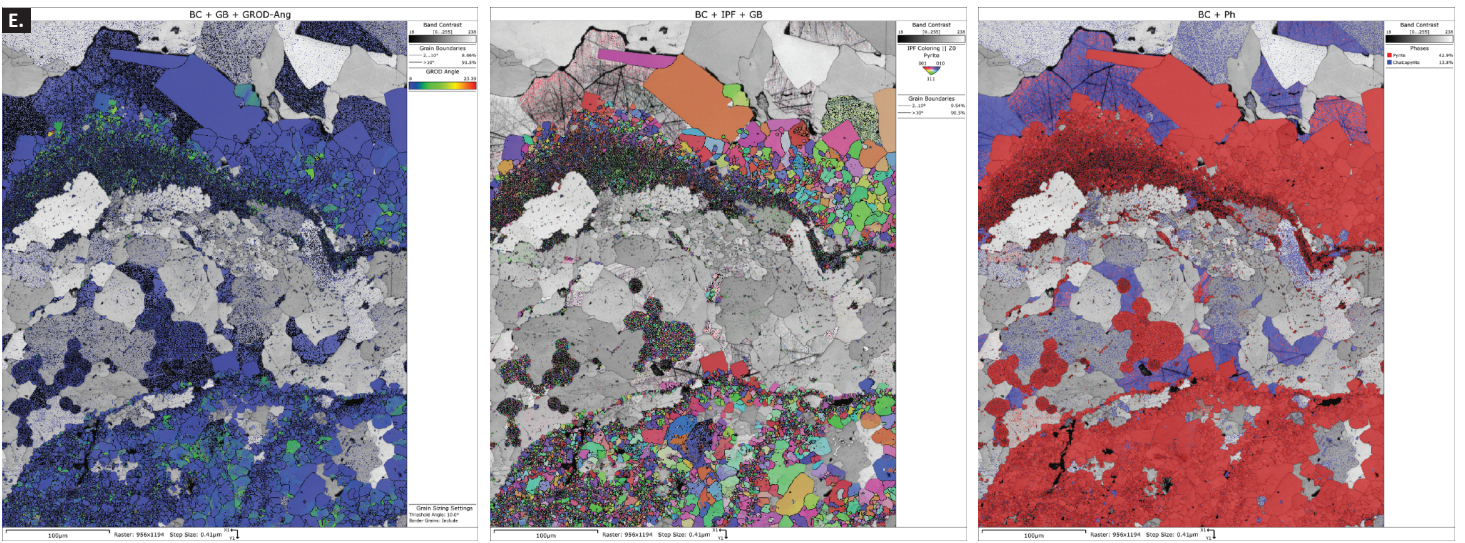
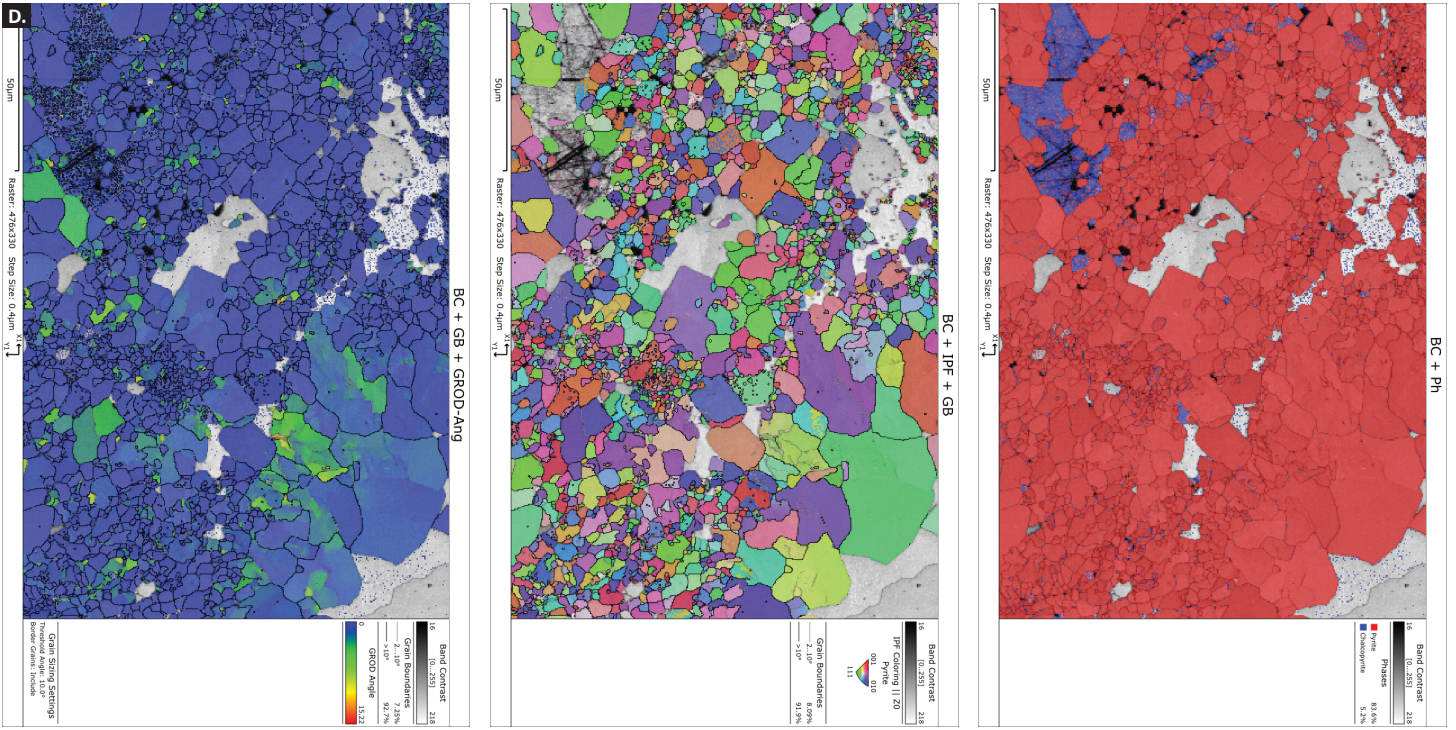


Fig. 9A.

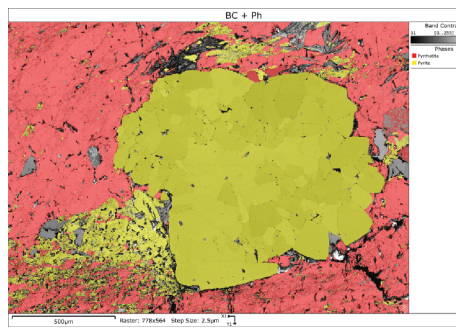
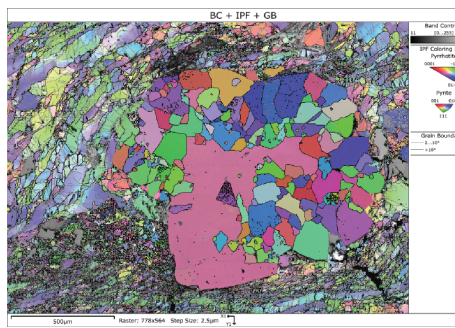
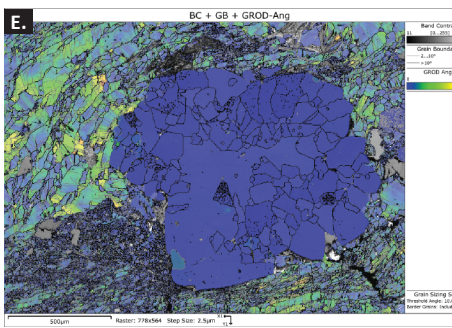
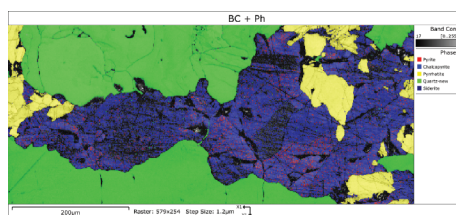
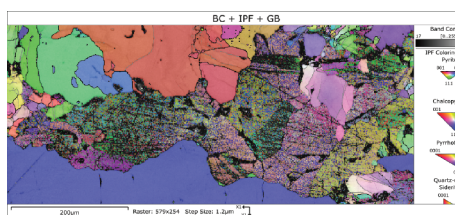
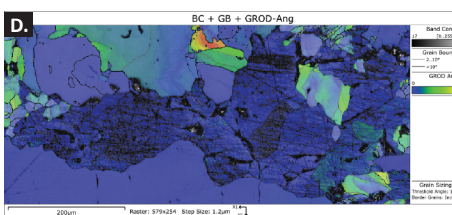
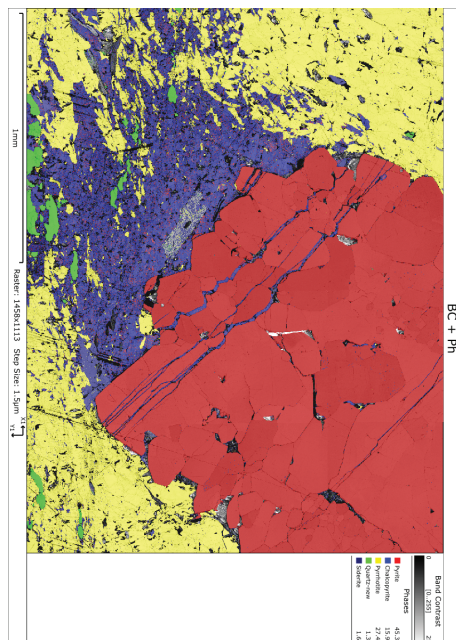
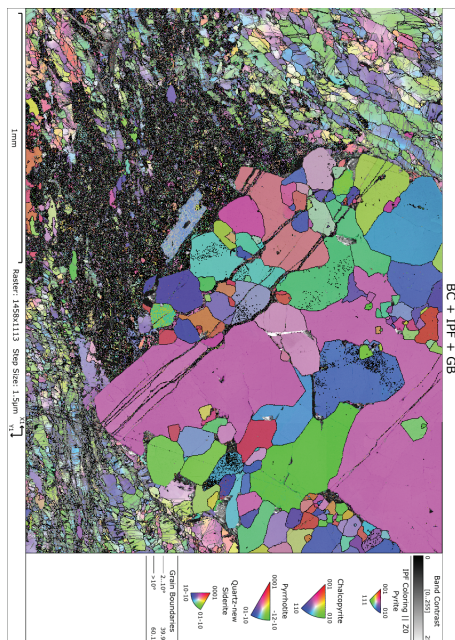
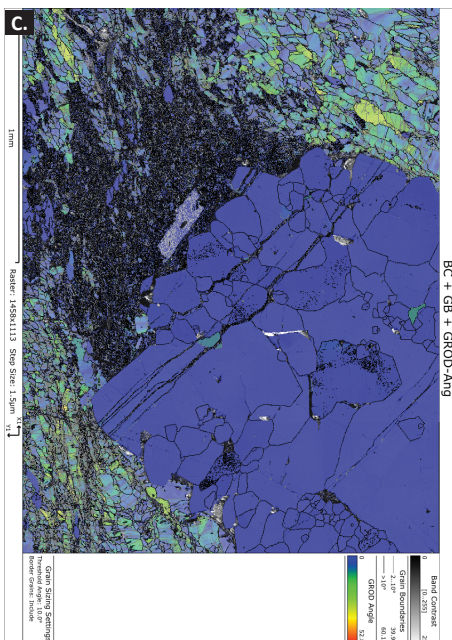
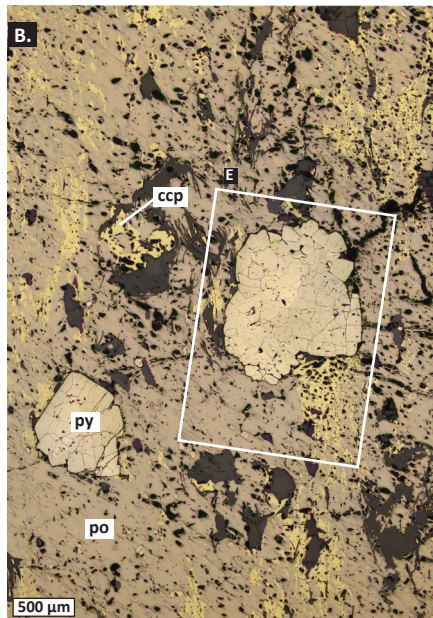
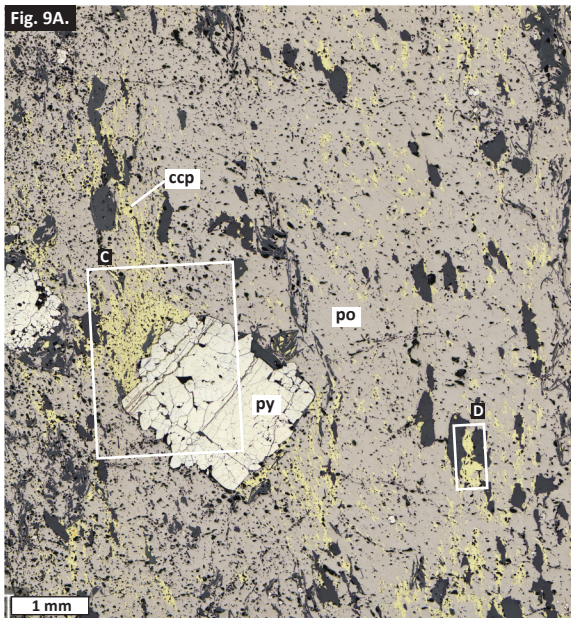
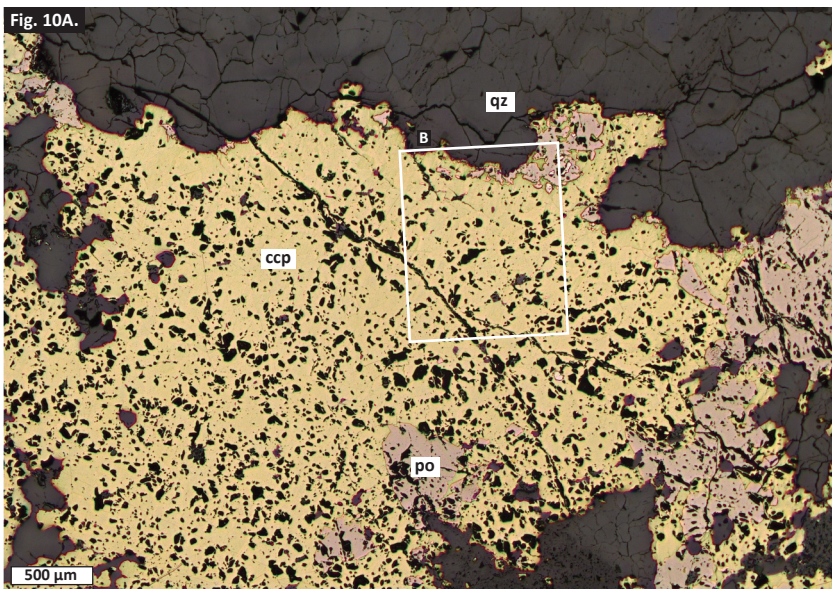


Fig. 10A.



B.

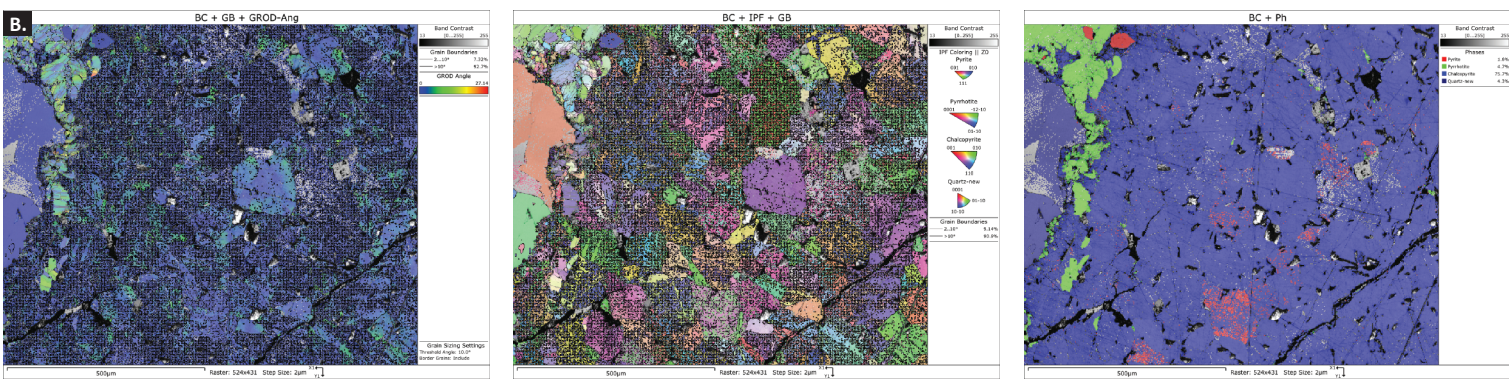
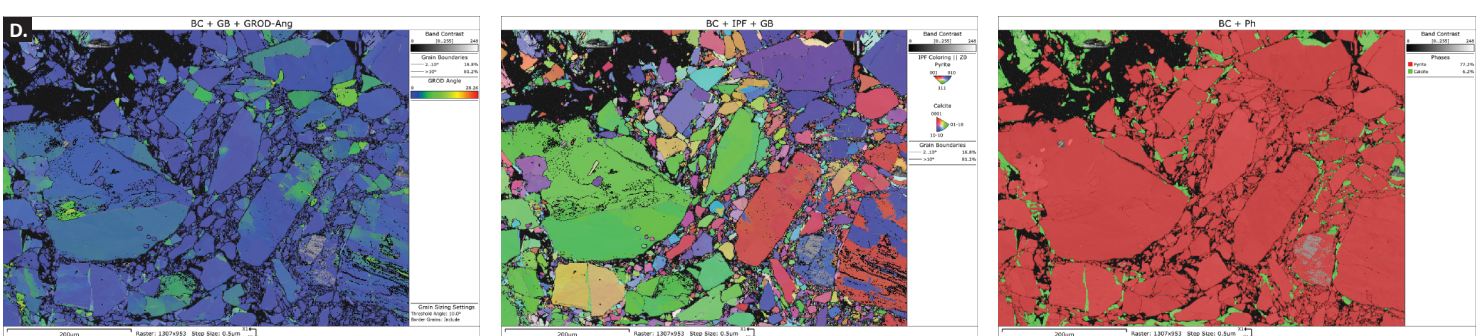
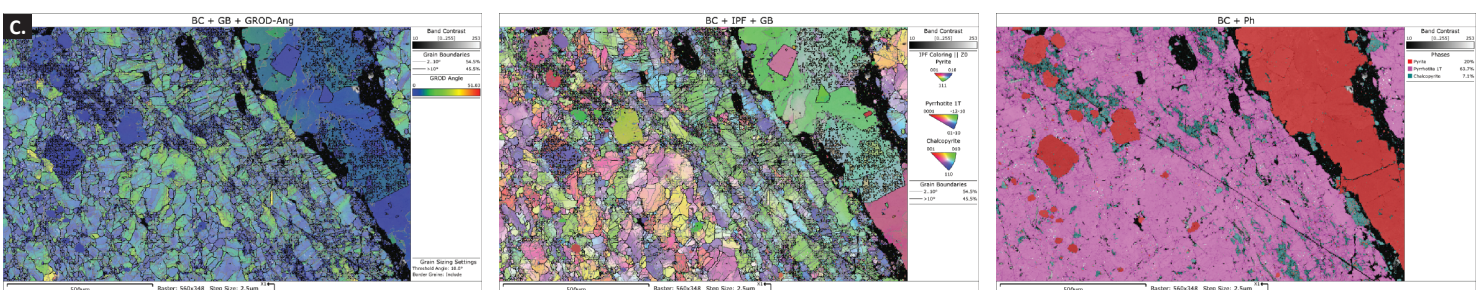
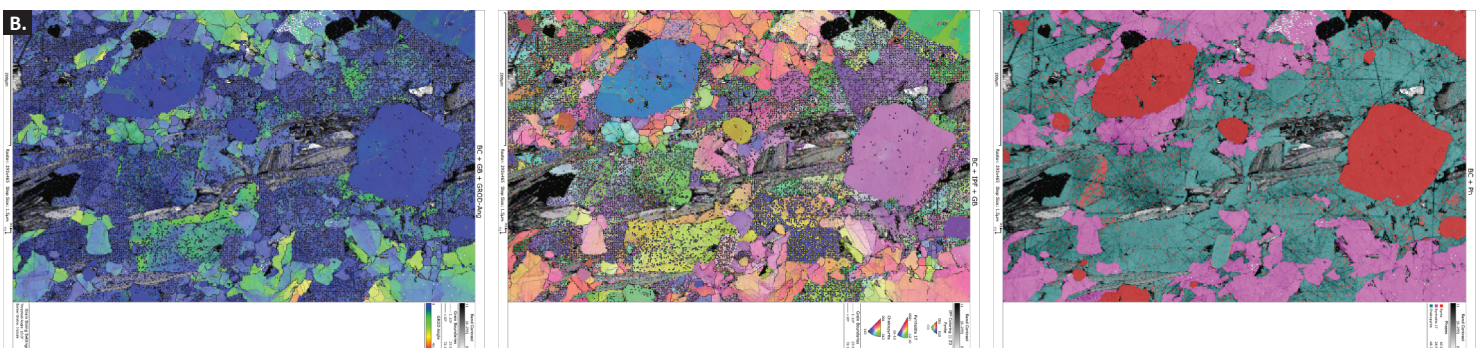
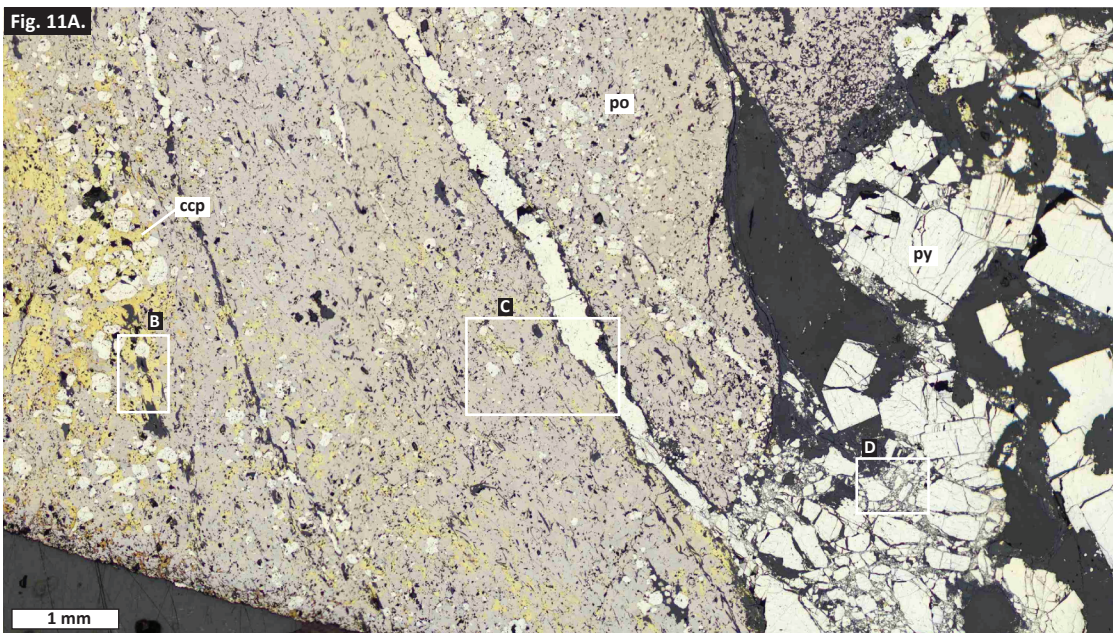


Fig. 11A.



Dihedral 4c

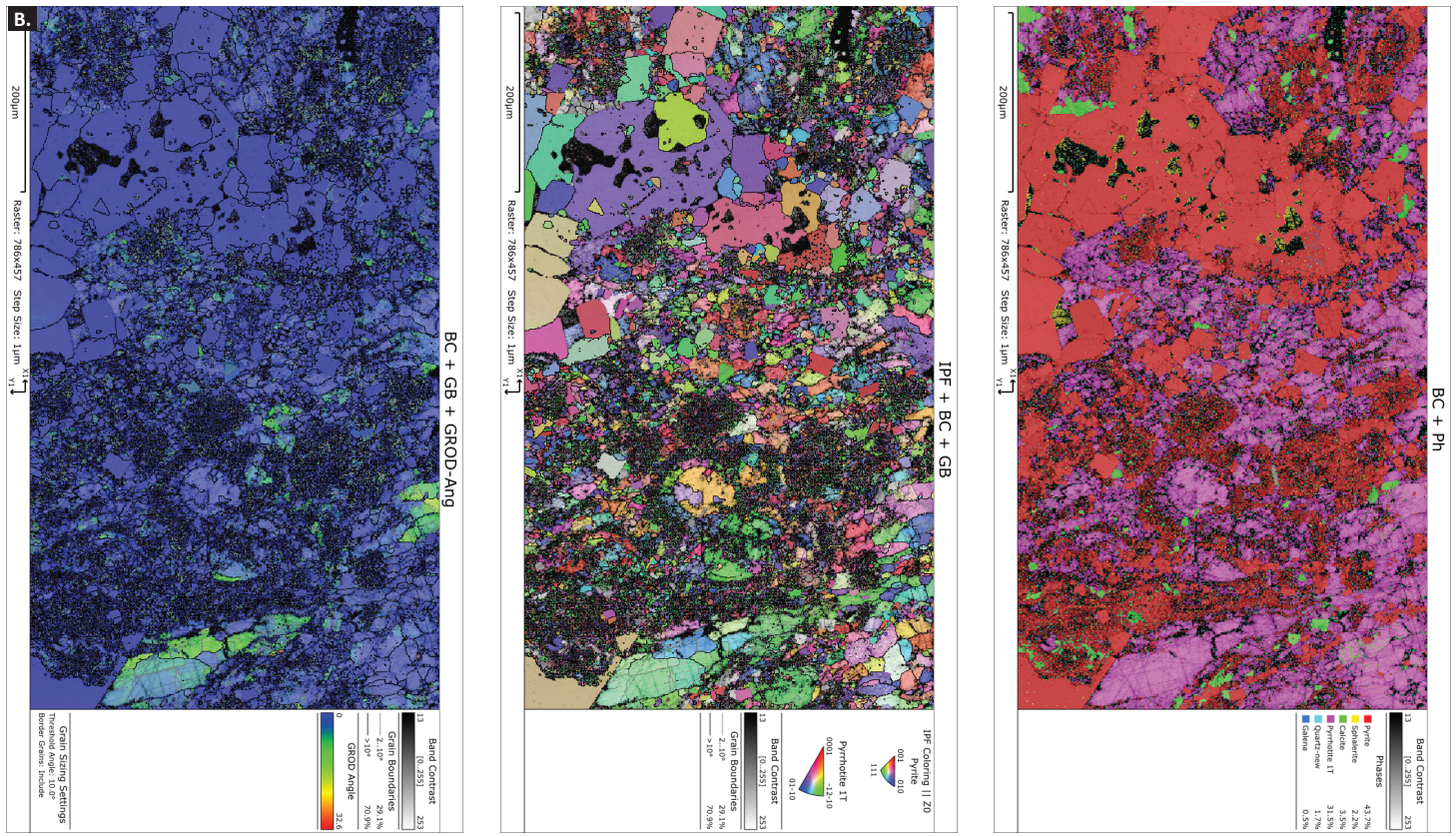
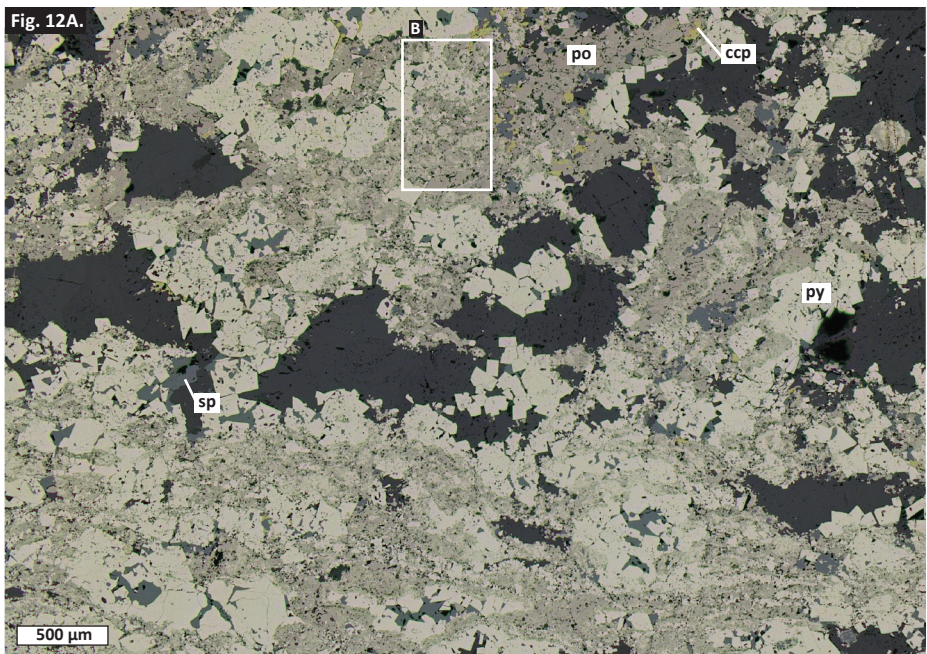


Fig. 13A.

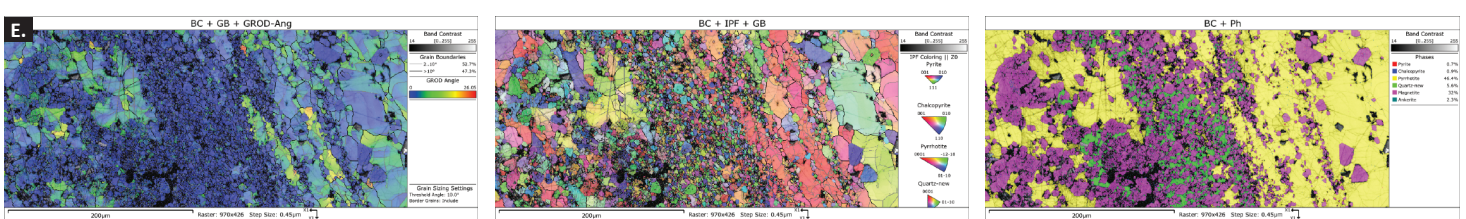
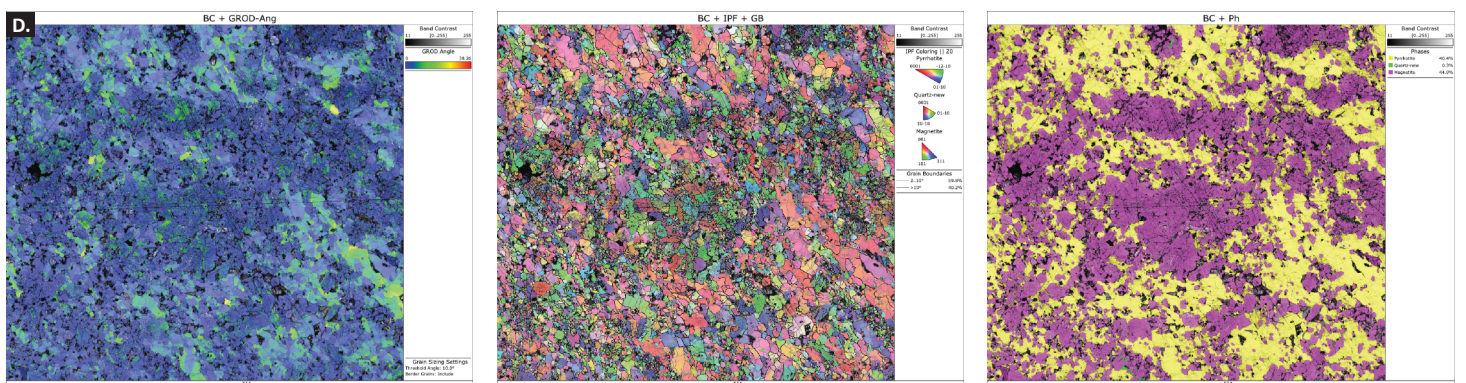
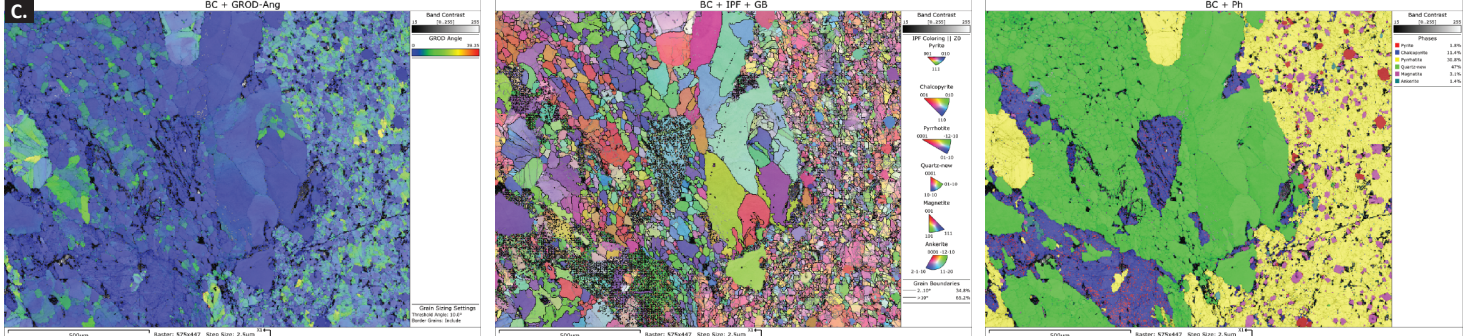
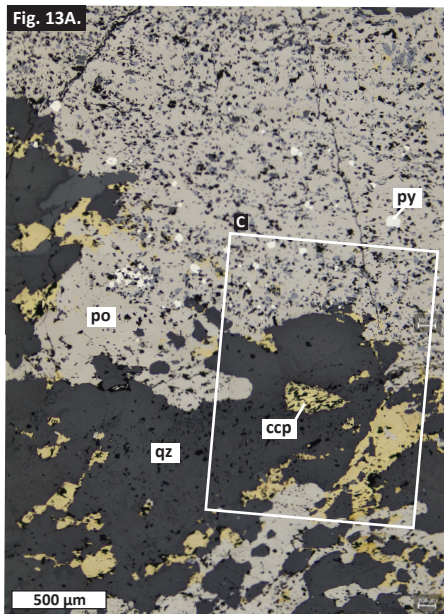
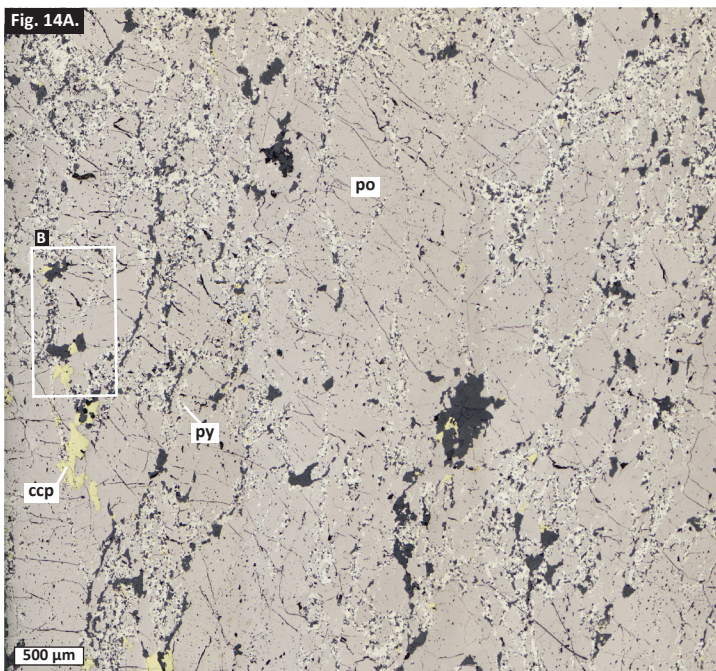


Fig. 14A.



B.

